

## 第 5 章 数字滤波器的基本网络结构

笪邦友

中南民族大学 电子信息工程学院

2018 年 11 月 1 日

# 目录

- ① 引言
- ② 用信号流图表示网络结构
  - 基本信号流图
  - 数字滤波器的分类
- ③ IIR 系统的基本网络结构
  - 直接型
  - 级联型（串联型）
  - 并联型
- ④ FIR 系统的基本网络结构
  - 直接型网络结构（卷积型）
  - 级联型网络结构（串联型）
  - 线性相位结构
    - 线性相位结构的概念
    - FIR-DF 的线性相位结构
    - 线性相位结构的零点分布特性

# 引言

对于时域离散系统，其描述方式包括：

- 差分方程
- 单位脉冲响应  $h(n)$
- 系统函数  $H(z)$

# 差分方程

如果系统输入输出满足  $N$  阶差分方程：

$$y(n) = \sum_{i=0}^M b_i x(n-i) - \sum_{i=1}^N a_i y(n-i)$$

则其系统函数  $H(z)$  为：

$$H(z) = \frac{Y(z)}{X(z)} = \frac{\sum_{i=0}^M b_i z^{-i}}{1 + \sum_{i=1}^N a_i z^{-i}}$$

简单的推导如下：对差分方程两边取 ZT 可得：

$$ZT[y(n)] = ZT\left[\sum_{i=0}^M b_i x(n-i)\right] - ZT\left[\sum_{i=1}^N a_i y(n-i)\right]$$

$$Y(z) = \sum_{i=0}^M b_i z^{-i} X(z) - \sum_{i=1}^N a_i z^{-i} Y(z)$$

$$Y(z) \left(1 + \sum_{i=1}^N a_i z^{-i}\right) = \sum_{i=0}^M b_i z^{-i} X(z)$$

$$\therefore H(z) = \frac{Y(z)}{X(z)} = \frac{\sum_{i=0}^M b_i z^{-i}}{1 + \sum_{i=1}^N a_i z^{-i}}$$

对于同一数字系统，其差分方程与系统函数是等价的。

## 系统函数与网络结构

对于时域离散系统，一个重要的问题是：

已知系统函数  $H(z)$ ，如何得到一种算法，以实现该系统。

(1) 给定一个系统函数，有多种实现算法

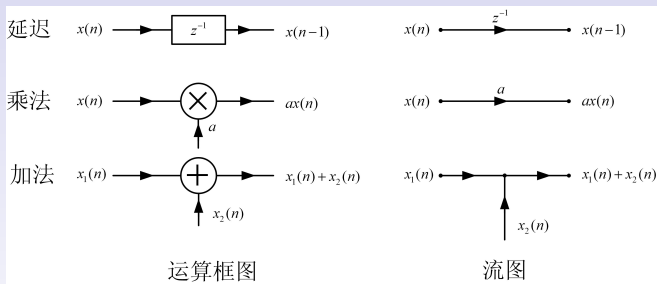
- 不同的算法直接影响系统的运算误差、运算速度以及系统的复杂度和成本等问题

(2) 网络结构可用于表示具体算法，

- 网络结构实际表示的是一种运算结构，而同一个系统对应多种网络结构（运算结构）

## 三种基本运算的流图表示

数字信号处理中有三种基本运算，即乘法、加法和单位延迟。



- ①  $z^{-1}$  和系数  $a$  作为支路增益写在支路箭头旁边，箭头表示信号流动方向。
- ② 两个信号相加，用一个圆点表示，称为网络节点。

# 用信号流图表示网络结构 I

## 基本信号流图

- (1) 信号流图中所有支路都是基本支路，即支路增益是常数或  $z^{-1}$
- (2) 流图环路中必须存在延迟支路；
- (3) 节点和支路的数目是有限的。

## 例题

设

$$H(z) = \frac{Y(z)}{X(z)} = \frac{b_0 + b_1 z^{-1} + b_2 z^{-2}}{1 + a_1 z^{-1} + a_2 z^{-2}}$$

试画出其基本信号流图。



## 用信号流图表示网络结构 II

根据  $H(z)$  的表达式，有：

$$Y(z) = (b_0 + b_1 z^{-1} + b_2 z^{-2}) \frac{X(z)}{1 + a_1 z^{-1} + a_2 z^{-2}}$$

$$\text{令：} \quad W(z) = \frac{X(z)}{1 + a_1 z^{-1} + a_2 z^{-2}}$$

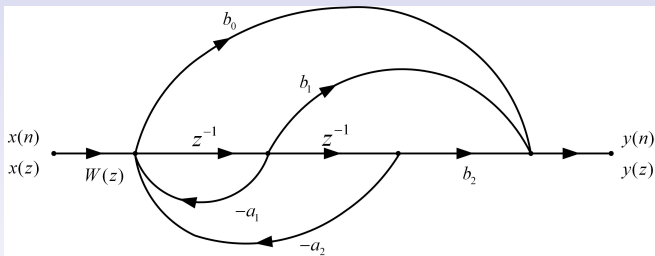
$$\text{有：} \quad Y(z) = (b_0 + b_1 z^{-1} + b_2 z^{-2}) W(z)$$

变换  $W(z)$  后有：

$$W(z) = X(z) - a_1 W(z) z^{-1} - a_2 W(z) z^{-2}$$

$$W(z) = X(z) - a_1 W(z)z^{-1} - a_2 W(z)z^{-2}$$

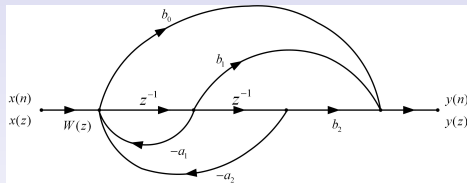
$$Y(z) = (b_0 + b_1 z^{-1} + b_2 z^{-2}) W(z)$$



- ① 输入  $x(n)$  的节点称源节点或输入节点，输出  $y(n)$  称为吸收节点或输出节点。
- ② 每个节点处的信号称节点变量，节点变量等于所有输入支路信号之和。

# $H(z)$ 的标准形式

$$H(z) = \frac{Y(z)}{X(z)} = \frac{b_0 + b_1 z^{-1} + b_2 z^{-2}}{1 + a_1 z^{-1} + a_2 z^{-2}}$$



说明：

(1)  $H(z)$  的标准形式为：

- ① 分子、分母均为  $z^{-1}$  的多项式。
- ② 分母中常数项为 1。

(2)  $H(z)$  的分子代表前馈支路，分母代表反馈支路，且分母中各项系数在图中取负号。

(3) 流图中没有标明增益的，其增益为 1。

## 数字滤波器的分类

1、根据数字滤波器的单位取样响应  $h(n)$  的长度分类

$$\begin{cases} \text{FIR : 有限长单位脉冲响应滤波器} \\ \text{IIR : 无限长单位脉冲响应滤波器} \end{cases}$$

2、根据数字滤波器的实现方式分类

$$\begin{cases} \text{递归型 : (有反馈)} \\ \text{非递归型 : (无反馈)} \end{cases}$$

## FIR-DF(有限长单位脉冲响应数字滤波器)

$$\text{差分方程} \quad y(n) = \sum_{i=0}^M b_i x(n-i)$$

$$\text{系统函数} \quad H(z) = \sum_{i=0}^M b_i z^{-i}$$

也就是系统函数的分母为 1, 而

$$H(z) = \sum_{n=-\infty}^{\infty} h(n) z^{-n}$$

$$\text{有:} \quad h(n) = \begin{cases} b_n, & 0 \leq n \leq M \\ 0, & \text{其他} \end{cases}$$

重要特点: 不存在输出对输入的反馈支路。

## IIR-DF 无限长单位脉冲响应数字滤波器

其系统函数的分母不总是为 1。

举例说明：

### 例题

设  $y(n] = x(n] + ay(n - 1)$ ，且为因果系统，求  $h(n]$ 。

解：

显然有：

$$y(n] = x(n] + \underbrace{ay(n - 1)}_{\text{对应反馈项}} \quad (\text{因果})$$

$$\therefore Y(z) = X(z) + az^{-1}Y(z)$$

注意，对于一般系统的差分方程：

$$y(n) = \underbrace{\sum_{i=0}^M b_i x(n-i)}_{\text{前馈项}} - \underbrace{\sum_{i=1}^N a_i y(n-i)}_{\text{反馈项}}$$

$$H(z) = \frac{1}{1 - az^{-1}} = \frac{z}{z - a}$$

又因为系统为因果，可知  $|z| > |a|$   
所以可得

$$h(n) = a^n u(n)$$

只要有反馈，总对应无限长响应滤波器（IIR-DF）

## 根据数字滤波器的实现方式分类

{ 递归型 : (有反馈)  
非递归型 : (无反馈)



# 非递归型

在网络图中无反馈。

## 例题

$$y(n] = x(n] + ax(n - 1]$$

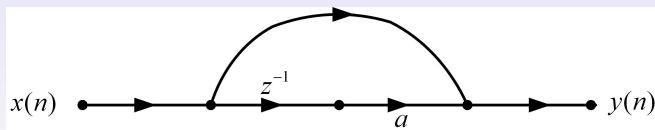


图: 非递归型数字滤波器的信号流图

# 递归型

在网络图中有反馈。

## 例题

$$H(z) = \frac{z}{z - a} = \frac{1}{1 - az^{-1}}$$

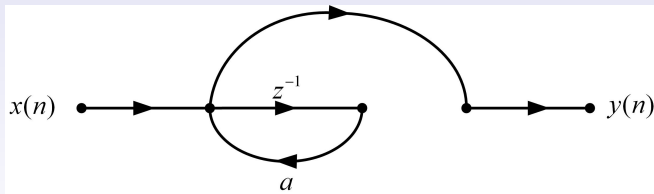


图: 递归型数字滤波器的信号流图

# 滤波器的分类

目前有了两种分类方法：

$$\left\{ \begin{array}{ll} \text{递归型} & \text{和} & \text{非递归型} \\ \text{FIR} & \text{和} & \text{IIR} \end{array} \right.$$

但其关系为：

$$\left\{ \begin{array}{l} (1) \quad \text{非递归型一定是 FIR} \\ (2) \quad \text{IIR 一定是递归型结构} \end{array} \right.$$

# 滤波器的分类

因为有一些 FIR-DF 也能用递归型网络结构实现，例如

$$H(z) = 1 + z^{-1} + z^{-2} \quad \text{为 FIR}$$

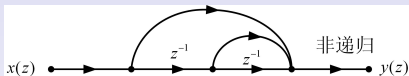


图: 非递归型信号流图

$$H(z) = \frac{1 - z^{-3}}{1 - z^{-1}} \quad \text{为 FIR}$$

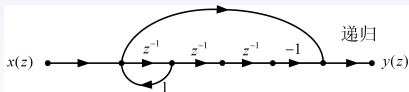


图: 递归型信号流图

# 一、直接 I 型

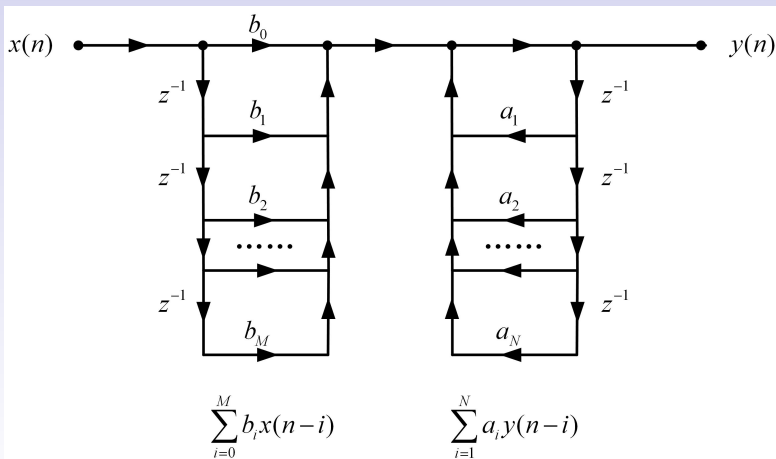
其 N 阶差分方程重写如下：

$$\begin{aligned} y(n) &= \sum_{i=0}^M b_i x(n-i) + \sum_{i=1}^N a_i y(n-i) \\ &= [b_0 x(n) + b_1 x(n-1) + \cdots + b_M x(n-M) \\ &\quad + a_1 y(n-1) + \cdots + a_N y(n-N)] \end{aligned} \quad (1)$$

对应系统函数为：

$$H(z) = \frac{\sum_{i=0}^M b_i z^{-i}}{1 - \sum_{i=1}^N a_i z^{-i}}$$

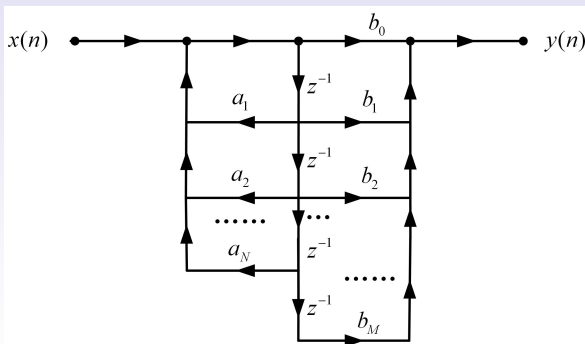
直接 I 型结构流图如下：



## 二、直接 II 型

$$H(z) = H_1(z) \cdot H_2(z) = H_2(z) \cdot H_1(z)$$

直接 I 型的流图中左右两部分可交换位置，延时支路可以合并，以简化流图结构。直接 II 型结构流图如下：



## 例题

设 IIR 数字滤波器的系统函数  $H(z)$  为：

$$H(z) = \frac{8z^3 - 4z^2 + 11z - 2}{(z - 0.25)(z^2 - z + 0.5)}$$

画出该滤波器的直接型网络结构

解：

$$H(z) = \frac{8 - 4z^{-1} + 11z^{-2} - 2z^{-3}}{1 - 1.25z^{-1} + 0.75z^{-2} - 0.125z^{-3}}$$

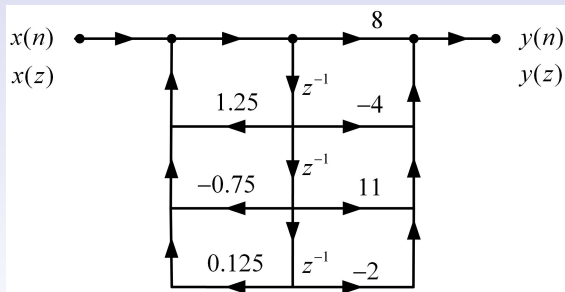
可化为差分方程对比一下。

$$\begin{aligned} y(n) = & 8x(n) - 4x(n-1) + 11x(n-2) - 2x(n-3) \\ & + 1.25y(n-1) - 0.75y(n-2) + 0.125y(n-3) \end{aligned}$$



## 例题的直接 II 型结构流图

$$H(z) = \frac{8 - 4z^{-1} + 11z^{-2} - 2z^{-3}}{1 - 1.25z^{-1} + 0.75z^{-2} - 0.125z^{-3}}$$



注意：

- ④  $H(z)$  的分子代表前馈支路，分母代表反馈支路，且分母中各项系数在图中取负号。

## IIR-DF 的级联型网络结构

系统函数  $H(z)$  可分解为一阶或二阶的子系统函数积的形式：

$$H(z) = H_1(z) \cdot H_2(z) \cdots H_k(z)$$

而子系统阶数为 1 或 2，子系统均采用直接型网络结构。

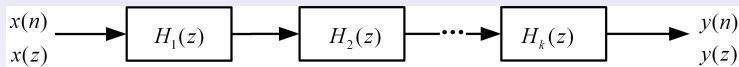


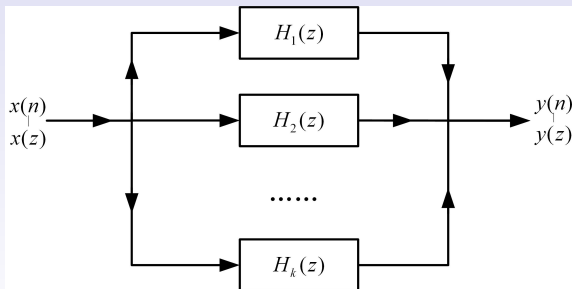
图: 级联型结构示意图

## IIR-DF 的并联型网络结构

系统函数  $H(z)$  可分解为一阶或二阶的子系统函数和的形式：

$$H(z) = H_1(z) + H_2(z) + \cdots + H_k(z)$$

而子系统阶数为 1 或 2，子系统均采用直接型网络结构。



图：并联型结构示意图

## 例题

设系统函数  $H(z)$  为：

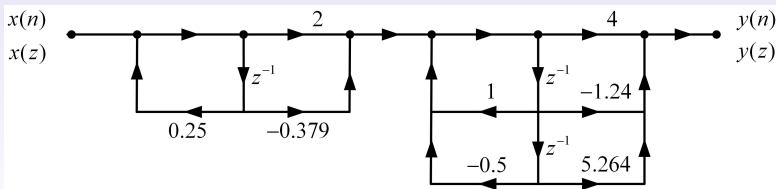
$$H(z) = \frac{8 - 4z^{-1} + 11z^{-2} - 2z^{-3}}{1 - 1.25z^{-1} + 0.75z^{-2} - 0.125z^{-3}}$$

分别画出其串联型网络结构和并联型网络结构。

## 解：(1) 串联型结构

对其进行因式分解，可得：

$$\begin{aligned}
 H(z) &= \frac{(2 - 0.379z^{-1})(4 - 1.24z^{-1} + 5.26z^{-2})}{(1 - 0.25z^{-1})(1 - z^{-1} + 0.5z^{-2})} \\
 &= \frac{2 - 0.379z^{-1}}{1 - 0.25z^{-1}} \cdot \frac{4 - 1.24z^{-1} + 5.26z^{-2}}{1 - z^{-1} + 0.5z^{-2}}
 \end{aligned} \quad (2)$$



图：例题的级联型结构示意图

## (2) 并联型结构

对其进行因式分解得：

$$H(z) = 16 + \frac{8}{1 - 0.5z^{-1}} + \frac{-16 + 20z^{-1}}{1 - z^{-1} + 0.5z^{-2}}$$

## (2) 并联型结构

对其进行因式分解得：

$$H(z) = 16 + \frac{8}{1 - 0.5z^{-1}} + \frac{-16 + 20z^{-1}}{1 - z^{-1} + 0.5z^{-2}}$$

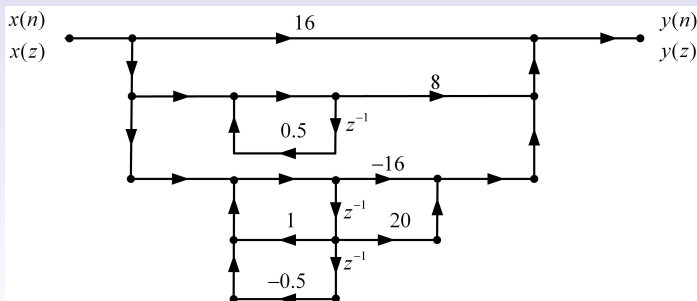


图: 例题的并联型结构示意图

## FIR 系统的基本网络结构的特点

FIR 网络结构特点是：

没有反馈支路，即没有环路。所以，其单位脉冲响应  $h(n)$  必定是有限长。

设其长度为  $N$ ，则其系统函数为：

$$H(z) = \sum_{n=0}^{N-1} h(n)z^{-n} = \sum_{n=n_1}^{n_2} h(n)z^{-n}$$

第二章曾经指出，有限长序列的  $z$  变换，当  $n_1 \geq 0, n_2 > 0$  时，其收敛域为  $0 < |z| \leq \infty$ 。可见其收敛域必然包括单位圆。



## FIR 系统的基本网络结构的特点

FIR 网络结构特点是：

没有反馈支路，即没有环路。所以，其单位脉冲响应  $h(n)$  必定是有限长。

设其长度为  $N$ ，则其系统函数为：

$$H(z) = \sum_{n=0}^{N-1} h(n)z^{-n} = \sum_{n=n_1}^{n_2} h(n)z^{-n}$$

第二章曾经指出，有限长序列的  $z$  变换，当  $n_1 \geq 0, n_2 > 0$  时，其收敛域为  $0 < |z| \leq \infty$ 。可见其收敛域必然包括单位圆。

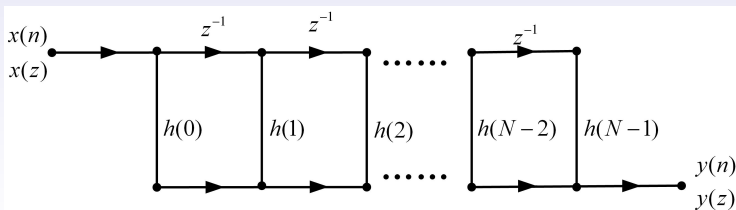
*FIR-DF* 必定是稳定的，*FIR-DF* 的设计不必考虑其稳定性。

## 直接型网络结构（卷积型）

FIR-DF 的差分方程为：

$$\begin{aligned}y(n) &= x(n) * h(n) = \sum_{m=0}^{N-1} h(m)x(n-m) \\&= h(0)x(n) + h(1)x(n-1) + \cdots + h(N-1)x(n-(N-1))\end{aligned}$$

其网络结构如下图所示：

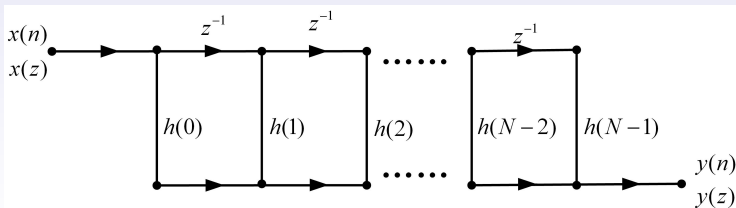


## 直接型网络结构（卷积型）

也可通过其系统函数理解，FIR-DF 的系统函数为：

$$\begin{aligned} H(z) &= \sum_{n=0}^{N-1} h(n)z^{-n} \\ &= h(0) + h(1)z^{-1} + h(2)z^{-2} + \cdots + h(N-1)z^{-(N-1)} \end{aligned}$$

同样可以画出流图。



## 级联型网络结构（串联型）

将系统函数  $H(z)$  因式分解为一阶或二阶的因子，每一个因式都用直接型实现。

$$H(z) = H_1(z) \cdot H_2(z) \cdots H_k(z)$$

### 例题

已知： $H(z) = 0.96 + 2z^{-1} + 2.8z^{-2} + 1.5z^{-3}$ ，画出其卷积型与级联型网络结构。

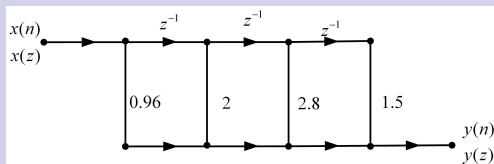
# （1）卷积型网络结构

## 例题

已知： $H(z) = 0.96 + 2z^{-1} + 2.8z^{-2} + 1.5z^{-3}$ ，画出其卷积型与级联型网络结构。

解：

卷积型网络结构为



## (2) 级联型网络结构

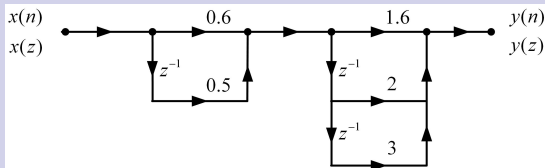
### 例题

已知： $H(z) = 0.96 + 2z^{-1} + 2.8z^{-2} + 1.5z^{-3}$ ，画出其卷积型与级联型网络结构。

解：

因式分解可得：

$$H(z) = (0.6 + 0.5z^{-1})(1.6 + 2z^{-1} + 3z^{-2}) = H_1(z) \cdot H_2(z)$$



## 线性相位结构

- ① 线性相位结构是 FIR 系统的直接型结构的简化，特点是网络具有线性相位特性，比直接型结构节约了近一半的乘法器。
- ② FIR-DF 的频率响应特性较易于设计为线性相位结构。

# 线性相位结构的概念

我们知道，一个滤波器的描述方式有三种：

$$\underbrace{h(n)}_{\text{单位脉冲响应}} \iff \underbrace{H(z)}_{\text{系统函数}} \iff \underbrace{H(e^{j\omega})}_{\text{频率响应函数}}$$

且有：

$$H(e^{j\omega}) = H(z)|_{z=e^{j\omega}}$$

同时有：

$$H(e^{j\omega}) = |H(e^{j\omega})| \cdot e^{j\varphi(\omega)}$$

$|H(e^{j\omega})|$  称为幅频特性函数。

$\varphi(\omega)$  称为相频特性函数。

所谓线性相位，就是指  $\varphi(\omega)$  是  $\omega$  的线性函数。



## 线性相位结构 FIR-DF 的单位脉冲响应 $h(n)$ 的特点

可以证明，如果一个 FIR-DF 具有线性相位结构，其单位脉冲响应  $h(n)$  应满足下面公式：

$$h(n) = \pm h(N-1-n)$$

式中

“+” 代表第一类线性相位结构，

“-” 代表第二类线性相位结构。

(1) 设  $N$  为偶数, 且  $h(n) = h(N-1-n)$

$$\begin{aligned}
 H(z) &= \sum_{n=0}^{N-1} h(n)z^{-n} \\
 &= \sum_{n=0}^{\frac{N}{2}-1} h(n)z^{-n} + \sum_{n=\frac{N}{2}}^{N-1} h(n)z^{-n} \\
 &= \sum_{n=0}^{\frac{N}{2}-1} h(n)z^{-n} + \underbrace{\sum_{m=0}^{\frac{N}{2}-1} h(N-1-m)z^{-(N-1-m)}}_{\text{令 } m = N-1-n}
 \end{aligned}$$

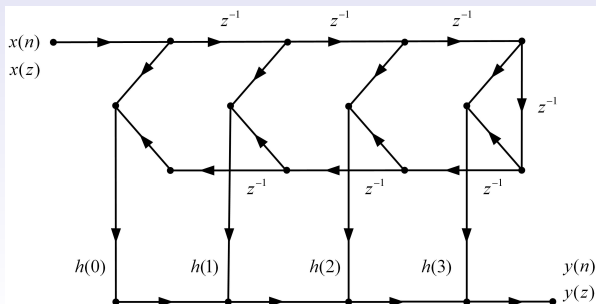
(1) 设  $N$  为偶数, 且  $h(n) = h(N-1-n)$

$$\begin{aligned} H(z) &= \sum_{n=0}^{\frac{N}{2}-1} h(n)z^{-n} + \underbrace{\sum_{n=0}^{\frac{N}{2}-1} h(N-1-n)z^{-(N-1-n)}}_{\text{将 } m \text{ 换为 } n \text{ 之后}} \\ &= \sum_{n=0}^{\frac{N}{2}-1} h(n)z^{-n} + \sum_{n=0}^{\frac{N}{2}-1} h(n)z^{-(N-1-n)} \\ &= \sum_{n=0}^{\frac{N}{2}-1} h(n) \left[ z^{-n} + z^{-(N-1-n)} \right] \end{aligned}$$

可见, 乘法次数减半, 结构更优化。

例如，当  $N=8$ ，则

$$\begin{aligned}
 H(z) &= \sum_{n=0}^3 h(n) \left[ z^{-n} + z^{-(7-n)} \right] \\
 &= h(0)(z^0 + z^{-7}) + h(1)(z^{-1} + z^{-6}) + h(2)(z^{-2} + z^{-5}) \\
 &\quad + h(3)(z^{-3} + z^{-4})
 \end{aligned}$$



(2) 当  $N$  为偶数, 且  $h(n) = -h(N-1-n)$

显然有:

$$H(z) = \sum_{n=0}^{\frac{N}{2}-1} h(n) \left[ z^{-n} - z^{-(N-1-n)} \right]$$

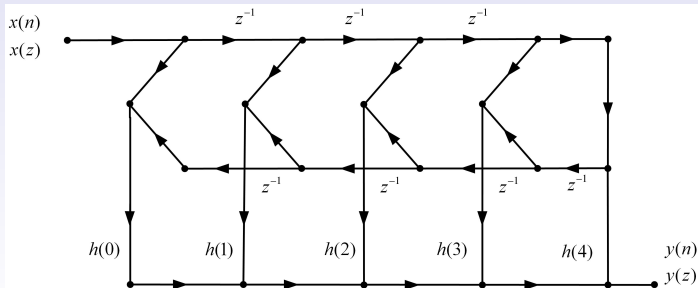
(3) 当  $N$  为奇数, 且  $h(n) = h(N-1-n)$

$$\begin{aligned} H(z) &= \sum_{n=0}^{N-1} h(n) z^{-n} \\ &= \sum_{n=0}^{\frac{N-1}{2}-1} h(n) z^{-n} + h\left(\frac{N-1}{2}\right) z^{-\frac{N-1}{2}} + \sum_{n=\frac{N-1}{2}+1}^{N-1} h(n) z^{-n} \\ &= \sum_{n=0}^{\frac{N-1}{2}-1} h(n) \left[ z^{-n} + z^{-(N-1-n)} \right] + h\left(\frac{N-1}{2}\right) z^{-\frac{N-1}{2}} \end{aligned}$$

## 例题

当  $N=9$ , 则

$$H(z) = h(0)(z^0 + z^{-8}) + h(1)(z^{-1} + z^{-7}) + h(2)(z^{-2} + z^{-6}) + h(3)(z^{-3} + z^{-5}) + h(4)z^{-4}$$



(4) 当  $N$  为奇数, 且  $h(n) = -h(N-1-n)$

当  $N$  为奇数, 且  $h(n) = -h(N-1-n)$

$$H(z) = \sum_{n=0}^{\frac{N}{2}-1} h(n) \left[ z^{-n} - z^{-(N-1-n)} \right] + h\left(\frac{N-1}{2}\right) z^{-\frac{N-1}{2}}$$



# 线性相位结构的零点分布特性

$$\begin{aligned} H(z) &= \sum_{n=0}^{N-1} h(n) z^{-n} \\ &= \sum_{m=0}^{N-1} h(N-1-m) z^{-(N-1-m)} && (\text{令 } m = N-1-n) \\ &= \sum_{n=0}^{N-1} h(N-1-n) z^{-[(N-1)-n]} && (\text{将 } m \text{ 换为 } n) \\ &= \sum_{n=0}^{N-1} h(n) z^{-(N-1)} \cdot z^n && (h(n) = h(N-1-n)) \end{aligned}$$

## 线性相位结构的零点分布特性

以第一类线性相位为例：设  $h(n) = h(N-1-n)$

$$\begin{aligned} H(z) &= \sum_{n=0}^{N-1} h(n) z^{-n} \\ &= \left[ \sum_{n=0}^{N-1} h(n) (z^{-1})^{-n} \right] z^{-(N-1)} \\ &= H(z^{-1}) \cdot z^{-(N-1)} \end{aligned}$$

即：  $H(z) = z^{-(N-1)} \cdot H(z^{-1})$

# 讨论

(1) 对于线性相位结构，其零点关于倒数成对出现。

设  $z = z_0$  是  $H(z)$  的任一零点，显然有  $H(z_0) = 0$  又，

$$H(z) = z^{-(N-1)} \cdot H(z^{-1})$$

$$\therefore H(z_0^{-1}) = 0$$

$\therefore z_0^{-1}$  也是  $H(z)$  的零点。

对于线性相位结构，其零点关于倒数成对出现。

# 讨论

- (2) 对于线性相位结构, 假设  $h(n)$  是实数, 则其零点一定是共轭成对出现。

$$H(z^*) = \sum_{n=-\infty}^{\infty} h(n)(z^*)^{-n} = \underbrace{\left[ \sum_{n=-\infty}^{\infty} h(n)z^{-n} \right]^*}_{h(n) \text{ 是实数}} = [H(z)]^*$$

如  $H(z_0) = 0$ , 则:

$$H(z_0^*) = 0$$

# 结论

对于实  $h(n)$ ，线性相位结构数字滤波器的零点以

$$z_0, \quad \frac{1}{z_0}, \quad z_0^*, \quad \frac{1}{z_0^*}$$

成组成对的形式出现，有一个是零点，其余的都是零点。

## 零点分布的特点

设  $z_0 = a + bi$ , 则

①  $z_0^* = a - bi$ , 与  $z_0$  关于实轴对称。

② 有:

$$\frac{1}{z_0} = \frac{1}{a + bi} = \frac{1}{a^2 + b^2}(a - bi) = \frac{z_0^*}{a^2 + b^2}$$

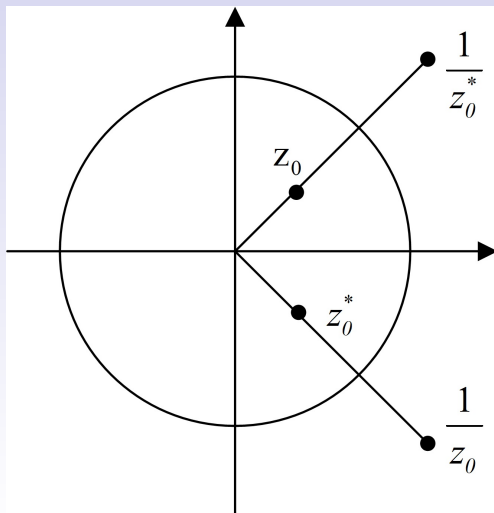
$\frac{1}{z_0}$  与  $z_0^*$  同向, 如  $z_0^*$  在单位圆内, 则  $\frac{1}{z_0}$  在单位圆内外。

③ 又有:

$$\frac{1}{z_0^*} = \frac{1}{a - bi} = \frac{a + bi}{a^2 + b^2} = \frac{z_0}{a^2 + b^2}$$

所以, 与  $\frac{1}{z_0^*}$  与  $z_0$  同向, 在单位圆外。

## 线性相位结构的零点分布图



# 进一步讨论

## 进一步讨论

- ① 一般情况下，4 个零点的位置均不同；
- ② 如  $z_0$  为实数，且  $z_0$  在横坐标上，只有两个零点；
- ③ 如  $z_0$  为虚数，且在单位圆上，只有 2 个零点；
- ④ 如  $z_0$  为实数，且在单位圆上，只有 1 个零点；